

پراکندگی رنیوم و عوامل کنترل کننده آن در انواع مولیدنیت کانسارهای مس پورفیری کرمان

سارا لعلی‌فاز^۱، بهنام شفیعی^{۲*}، غلامحسین شمعانیان^۳، مرضیه حسینی^۴ و ریان مسورد^۵

^۱ کارشناس ارشد، گروه زمین‌شناسی، دانشکده علوم پایه، دانشگاه گلستان، گرگان، ایران.

^۲ استادیار، گروه زمین‌شناسی، دانشکده علوم پایه، دانشگاه گلستان، گرگان، ایران.

^۳ کارشناس ارشد، امور اکتشافات و مهندسی توسعه، مجتمع مس سرچشم، شرکت ملی صنایع مس ایران، تهران، ایران.

^۴ کارشناس، امور تحقیق و توسعه، مجتمع مس سرچشم، شرکت ملی صنایع مس ایران، تهران، ایران.

^۵ دانشیار، گروه زمین‌شناسی، هانتینگدان، پنسیلوانیا، ایالات متحده آمریکا.

تاریخ پذیرش: ۱۳۹۰/۰۳/۱۷ تاریخ دریافت: ۱۳۸۹/۱۲/۲۳

چکیده

در پژوهش حاضر، غلظت رنیوم در ۳۰ نمونه مولیدنیت هگزاگونال (2H) و تربیکونال (3R) متعلق به رگجه‌های مراحل مختلف کانی‌سازی ژرف‌زاد از ۷ کانسار پورفیری مس و مولیدن کرمان تعیین شد. غلظت رنیوم در مولیدنیت‌های این کانسارها از ۱۴۴۹ تا ۴۹ گرم در تن متغیر بود که در محدوده غلظت رنیوم در کانسارهای پورفیری مس و مولیدن دیگر مناطق جهان است. مولیدنیت نوع 3R (میانگین حدود ۵۶۳ گرم در تن) عموماً غلظت بالاتری از رنیوم را نسبت به مولیدنیت‌های 2H (میانگین ۴۷۹ گرم در تن) نشان داده است. تغییرات غلظت رنیوم در انواع مولیدنیت‌های نهشته شده در طی مراحل مختلف کانی‌سازی ژرف‌زاد، غلظت بیشتر رنیوم در مولیدنیت نهشته شده با رگجه‌های مراحل انتقالی و پایانی کانی‌سازی (نوع B) و نوع (D) نسبت به مولیدنیت رگجه‌های مراحل اولیه (نوع A) را نشان می‌دهد. این پراکندگی پیشنهاد می‌کند که رنیوم با سیال‌های گرمابی اسیدی تر و سردتر در مراحل میانی تا پایانی تکامل سامانه پورفیری در دگرسانی سیلیسی، سریسیتی و رسی بیشتر تمکن زیاد نشان داد که مولیدنیت‌های با مقدار زیاد رنیوم با کانسارهای مس پورفیری همراه هستند که با عیار میانگین کم از مولیدن، مقادیر محدود مولیدنیت و توده نفوذی مولد، حاصل دلالت بیشتر ماگماهای مشتق از جه نسبت به مواد پوسته‌ای مشخص می‌شوند. افزون بر ویژگی‌های یادشده، فراوانی پلی مورف 3R مولیدنیت در کانسارها، ترکیب کمتر تفرقی یافته و کلسیمی تر توده‌های نفوذی مولد کانسارها با مقادیر کمتر رادیوژنی نسبت‌های ایزوتوپی استرانسیم و سرب آنها و همچنین رخداد فرایندهای تأثیری دگرسانی و کانی‌سازی گرمابی کم‌دما و اسیدی در تاریخچه شکل‌گیری و تکامل کانسارها از ویژگی‌های کانسارهای پورفیری مس و مولیدن با محتوا زیاد از رنیوم هستند.

کلیدواژه‌ها: رنیوم، مولیدنیت، مس پورفیری، کرمان

*نویسنده مسئول: بهنام شفیعی

۱- مقدمه

وجود مقادیری در حد چند صد ppm رنیوم در آن است. با توجه به قیمت بالای فلز رنیوم و کاربردهای راهبردی آن و همچنین وجود کارخانه تولید کنسانتره مولیدنیت در مجتمع مس سرچشم (کرمان) و همچنین راه اندازی چنین کارخانه‌ای در مجتمع مس سونگون (آذربایجان خاوری) ضروری است تا نسبت به پتانسیل رنیوم در انواع مولیدنیت‌های موجود در کانسنتگ‌هایی با دگرسانی‌های مختلف ژرف‌زاد (Hypogene) که در این کارخانه‌ها مورد فرآوری و استحصال مولیدنیت قرار می‌گیرند مطالعات مفصلی صورت پذیرد. به همین منظور در این پژوهش به بررسی تعیین مقادیر رنیوم در مولیدنیت‌های هفت کانسار پورفیری مس و مولیدن واقع در کمربند مس پورفیری کرمان (شامل کانسارهای سرچشم، میدوک، دره‌زار، درالله، سرکوه، نوچون و کرور) پرداخته شده است که هر کدام از این کانسارها از نظر نوع و محتوا فلزی و همچنین ذخیره و عیار با یکدیگر متفاوت هستند و مولیدنیت موجود در آنها در مراحل مختلف دگرسانی و کانی‌سازی (پتاسیک، سریسیتی، سیلیسیک و آرژیلیک) باشد و ضعف نهشته شده است (جدول ۱). آشکار کردن غلظت رنیوم در انواع نسل‌های مولیدنیت نهشته شده با رگجه‌های مراحل مختلف کانه‌زایی ژرف‌زاد کانسارهای مس پورفیری و شناخت عوامل مؤثر بر این پراکندگی و تغییرات غلظت، موضوع این پژوهش است.

۲- موقعیت زمین‌شناسی

کانسارهای مس پورفیری کرمان بر روی یک کمربند آتش‌شانی- نفوذی سوزوژیک با درازای تقریبی ۵۰۰ کیلومتر و پهنای تقریبی ۸۰ کیلومتر با روند شمال‌باخت- جنوب‌خاور در حاشیه جنوبی خردقاره ایران مرکزی (بلوک سه گانه یزد- طبس- لوت) شکل گرفته و توسعه یافته‌اند (شکل ۱). این کمربند که در

رنیوم یک فلز کمیاب (کلارک ۰/۰۰۱ ppm در پوسته زمین) اما راهبردی است که به طور گسترده‌ای در صنعت پالایش نفت و صنایع الکترونیک مورد استفاده قرار می‌گیرد (Ishihara, 1988; Kesler, 2000). رنیوم در پوسته زمین عمده‌ماهیت زمین‌شیمیایی گوگرد دوست (chalcophile) دارد اما به دلیل فراوانی بسیار کم در پوسته زمین کانی مستقل تشکیل نمی‌دهد بلکه تمایل به تمکن زیاد در ساختار سولفیدها به ویژه مولیدنیت (MoS₂) موجود در کانسارهای مس و مولیدن پورفیری Newberry, 1979; Watanabe & Sodea, 1981; Filimonova et al., 1985; Tarkian et al., 1991) میزان رنیوم در مولیدنیت کانسارهای مولیدن پورفیری و مس پورفیری از چند ppb ppm تا چند هزار ppm متغیر است (Suzuki et al., 1996; Berzina et al., 2005). بنابراین کانسارهای یادشده تنها و تجاری ترین منبع دستیابی به رنیوم هستند و مهم ترین تولید کنندگان رنیوم دنیا کشورهای شیلی، ایالات متحده آمریکا، کانادا و قرقاستان هستند (Kesler, 2000; Berzina et al., 2005). پژوهش‌های انجام شده در زمینه پراکندگی رنیوم در کانسارهای پورفیری مس و مولیدن نشان داده است که میزان رنیوم در مولیدنیت‌های این کانسارها تابع عوامل مختلفی از جمله نوع و محتوا فلزی کانسار، ترکیب و ماهیت ماگماهای مولد کانسارهای پورفیری، ترکیب سیال‌ها و محلول‌های کانه‌زا، درجه حرارت نهشت مولیدنیت در طی مراحل مختلف کانی‌سازی پورفیری و ساختار کانیایی مولیدنیت است.

با توجه به رخداد معمول انواع کانسارهای مس پورفیری در ایران که همگی به مقدار کم تا زیاد مولیدنیت دارند، تاکنون میزان رنیوم و تغییرات آن در انواع مولیدنیت‌های نهشته شده در طی مراحل مختلف کانی‌سازی سامانه‌های پورفیری موجود مطالعه قرار نگرفته است و تنها اطلاعات پراکنده و اتفاقی در ارتباط با میزان رنیوم موجود در کنسانتره مولیدنیت تولید شده در مجتمع مس سرچشم حاکی از

(Juniata college) در ایالت پنسیلوانیای ایالات متحده آمریکا ارسال شدند و مورد تجزیه پراش پرتو ایکس (XRD) قرار گرفتند. از این میان، ۱۳ نمونه مولیبدنیت از نوع پلی مورف ۲H و ۱۷ نمونه از نوع پلی مورف ۳R شناخته شدند (جدول ۲). پس از مشخص شدن نوع پلی مورف مولیبدنیت‌های جداسده، نمونه‌های مولیبدنیت خالص برای سنجش مقادیر رنیوم در آنها توسط طیف‌سنجی جرمی پلاسمای جفت شده (القایی ICP-MS) به دانشگاه آریزونا در ایالات متحده آمریکا ارسال شدند. نتایج این سنجش در جدول ۳ ارائه شده است.

۴-۵۵۱۵

بر پایه داده‌های حاصل از تجزیه شیمیایی، میزان غلظت رنیوم در مولیبدنیت‌های کانسارهای مس و مولیبدن پورفیری کرمان از دست کم چند ده ppm (۴۹ ppm) تا حداقل چند هزار ppm (۱۴۴۹ ppm) متغیر است که تقریباً در دامنه غلظت رنیوم کانسارهای مس و مولیبدن پورفیری در دیگر نقاط دنیا (۳۰-۴۰۰۰ ppm) (Berzina et al., 2005) قرار می‌گیرد (جدول ۳ و شکل ۳). بیشترین میزان غلظت رنیوم در یک نمونه از مولیبدنیت کانسار سرچشم (۱۴۴۹ ppm) و کانسار میدوک (۱۳۲۵ ppm) و کمترین آن (۴۹ ppm) در نمونه‌ای از کانسار در آلو ثبت شده است. میانگین غلظت رنیوم در مولیبدنیت کانسارهای مختلف به ترتیب فراوانی عبارتد از: کانسار میدوک (۱۳۲۵/۳۲ ppm)، سرکوه (۸۰/۲۵/۷ ppm)، سرچشم (۶۶۳/۹۱۱ ppm)، دره زار (۵۹۴/۸۸ ppm)، کرور (۴۷۱/۹۹۶ ppm)، در آلو (۴۲۶/۳۷۵ ppm) و نوجون (۳۳۶/۳۸۵ ppm) (شکل ۴). مقایسه غلظت مطلق رنیوم در پلی مورف‌های 2H و 3R مولیبدنیت در مجموع نشان داد که پلی مورف 2H میانگین غلظت پایین‌تری (۴۷۹/۰/۹ ppm) نسبت به پلی مورف 3R (۵۶۳/۱/۲ ppm) دارد (شکل ۵). کمترین میزان رنیوم متعلق به یک نمونه مولیبدنیت 2H و بیشترین میزان غلظت رنیوم متعلق به پلی مورف 3R آن است. هر چند که یک نمونه مولیبدنیت 2H با غلظت بالای رنیوم (۱۳۲۵/۳۲ ppm) ثبت شد (جدول‌های ۲ و ۳)، بیشترین فراوانی برای غلظت رنیوم در مولیبدنیت 2H در دامنه غلظت ۳۰۰ ppm تا ۶۰۰ ppm است (شکل ۶). این فراوانی برای مولیبدنیت‌های 3R بین غلظت‌های ۲۰۰-۹۰۰ ppm است و تنها یک نمونه پلی مورف 3R در دامنه غلظت ۱۴۰۰-۱۵۰۰ ppm قرار دارد (شکل ۶).

تغییرات غلظت رنیوم در انواع مولیبدنیت‌های نهشته شده در طی مراحل مختلف کانی‌سازی ژرف‌زاد کانسارهای مس پورفیری کرمان میانگین ۳۳۳/۴۹۵ ppm برای مولیبدنیت رگچه نوع A، میانگین ۵۴۳/۱۴۱۷ ppm برای مولیبدنیت رگچه نوع B، میانگین ۴۶۶/۳۷۸ ppm برای مولیبدنیت رگچه نوع C و سرانجام میانگین ۶۲۸/۸۶۸۵ ppm برای مولیبدنیت رگچه نوع D را نشان داده است (شکل ۷). این تغییرات غلظت نشان می‌دهند که غلظت رنیوم در رگچه‌های مراحل انتقالی و پایانی کانی‌سازی (نوع B و نوع D) بالاتر از رگچه‌های مراحل اولیه (نوع A) است (شکل ۸). در نتیجه می‌توان عنوان کرد که غلظت رنیوم در مولیبدنیت‌ها با تکامل سامانه کانی‌سازی، روند افزایشی را طی کرده است. بررسی تغییرات غلظت رنیوم با عیار میانگین مس و مولیبدن کانسارهای مس پورفیری کرمان ارتباط مستقیم با مس و ارتباط وارون با مولیبدن را نشان می‌دهد (شکل ۹ و ۱۰) که سازگار با دیگر کانسارهای مس و مولیبدن پورفیری دنیا است (Berzina et al., 2005).

۵-بحث

مطالعات بی‌شمار و ارزشمند انجام شده بر روی پراکنده‌گی و عوامل کنترل‌کننده غلظت رنیوم در مولیبدنیت کانسارهای مس و مولیبدن پورفیری Gilles & Schilling, 1972; Newberry, 1979; Filimonova et al., 1985; Todorov & Staikov, 1985; Ishihara, 1988; Mao et al., 1999; Economou-Eliopoulos &

تقسیمات زمین‌شناسی ناحیه کرمان به نام کمربند دهچ- ساردوییه شناخته می‌شود (Demirijevic, 1973)، در طی فعالیت‌های ماگمایی مربوط به مراحل متوالی بسته‌شدن اقینوس تیس شامل فروزانش در طول کرتاسه- الیگوسن و برخورد Berberian & King, 1981) است (Shafiei, 2010; Berberian et al., 1982; Mohajjel et al., 2003; Agard et al., 2005; Ricou, 1994; McClay et al., 2004; Dercourt et al., 1986). کانی‌سازی مس پورفیری در کمربند دهچ- ساردوییه در ارتباط با توده‌های نفوذی کم‌زرفای متعلق به میوسن است که در سنگ‌های آتششانی- رسوبی دوره اثوسن- الیگوسن نفوذ کرده‌اند. توده‌های نفوذی مولد کانسارهای مس پورفیری، بافت پورفیری و ترکیب سنگ‌شناصی محدود از دیبوریت تا گرانوپیوریت دارند؛ اما برتری سنگ‌شناصی با توده‌های کوارتزپیوریتی و گرانوپیوریتی است. از نظر کانی‌سازی نوع پورفیری، از بخش‌های جنوب خاوری به طرف نواحی مرکزی و شمال باختり کمربند، بر شدت کانی‌سازی و فراوانی کانسارهای مس پورفیری افزوده می‌شود. این نواحی منطبق بر ستربرترین بخش‌های پوسته کمربند یادشده (با ستربرای ۴۵ تا ۵۰ کیلومتر) هستند که دارای تمکز بالای از ماگماتیسم حدواسط- فلسفیک دوره نئوزن نسبت به مناطق جنوب خاوری این کمربند است. این مسئله می‌تواند نشان دهد که ماگماتیسم مولد فلززایی مس پورفیری در مراحل پایانی تکامل کمربند آتششانی- نفوذی دهچ- ساردوییه و همراه و همزاد با ستربردگی پوسته بوده است (Shafiei et al., 2009).

۳- روش نمونه‌برداری و تجزیه

برای انجام مطالعه حاضر نیاز به نمونه‌هایی از کانسنگ‌های دارای مولیبدنیت بود که در طی مراحل مختلف کانی‌سازی شکل گرفته بودند. بدین منظور برای انتخاب نمونه‌ها از مغزه‌های اکتشافی کانسارهای مورد مطالعه سعی شد تا نمونه‌ها از ژرف‌هایی برداشت شوند که به دلیل داشتن عیارهای بالا از مس (بیشتر از ۷۰٪) و مولیبدن (بیشتر از ۱۰۰ ppm) دارای کانی‌های قابل رؤیت با چشم غیر مسلح از مولیبدنیت باشند. از سوی دیگر نمونه‌هایی برداشت شده از ژرف‌هایی باشند که دگرسانی ژرف‌زاد را شامل شوند تا بتوان تغییرات غلظت رنیوم در آنها را با تغییر دگرسانی و همچنین تغییر ساختار مولیبدنیت (مگراگونال یا ۲H و تریگونال یا ۳R) را شناسایی کرد. در بانک اطلاعات عیاری- دگرسانی- کانی‌سازی، ۲۰۷ گمانه اکتشافی از هفت کانسار تحت مطالعه مورد بررسی قرار گرفت و در مجموع ۷۱ نمونه از ژرف‌هایی دگرسانی‌های ژرف‌زاد مختلف از کانسارهای تحت مطالعه برداشت شد. پس از نمونه‌برداری، ابتدا ویژگی‌های دگرسانی و کانی‌سازی آنها با مطالعات مکروسکوپی تشریح و شناسایی شد. به دلیل بالا بودن هزینه تجزیه شیمیایی رنیوم، در مجموع ۳۰ نمونه به عنوان کانسنگ‌های مولیبدنیت دار متعلق به انواع دگرسانی‌ها و انواع رگچه‌های کانه‌دار انتخاب شد. این نمونه‌ها به منظور شناسایی نوع رگچه‌ها و همچنین نوع دگرسانی، مقاطع نازک- صیقلی تهیه و مطالعات میکروسکوپی روی آن انجام شد. پس از انجام این مطالعات و شناسایی انواع رگچه‌ها (نوع A: پاراژنر کوارتز- بیوتیت- ایندریت- ارتوکلاز- مولیبدنیت- کالکوپیریت- پیریت، نوع B: پاراژنر کوارتز- مولیبدنیت ± پیریت بدون کانی‌های دگرسانی، نوع C: پاراژنر کوارتز- بیوتیت- ایندریت- ارتوکلاز- کالکوپیریت- پیریت ± مولیبدنیت با هاله سریسیتی، نوع D: پاراژنر کوارتز- سریسیت- کلریت- پیریت- کالکوپیریت ± مولیبدنیت) (جدول ۲ و شکل ۲)، ۳۰ نمونه مولیبدنیت خالص به روش سنگ‌چوری دستی (Hand Picking) و استفاده از میکروسکوپ بیناکولار از این نمونه‌ها جدا شد. از این تعداد، ۱۸ نمونه از کانسارهای مس و مس- مولیبدن پورفیری و ۱۲ نمونه از کانسارهای مولیبدن- مس پورفیری بود. به منظور شناسایی نوع ساختار بلوری و نوع پلی مورف مولیبدنیت، نمونه‌های جدا شده به گروه زمین‌شناسی کالج جانیاتا

شود. محتوای رنیوم کمتر کانسارهای مولیبدن و مولیبدن- مس پورفیری در مقایسه با کانسارهای مس و مس- مولیبدن پورفیری به ترکیب تفریق یافته‌تر و قلایی‌تر توده نفوذی مولد آنها (عده‌تا ترکیب گرانیتی و مونزوگرانیتی تا کوارتزمونزونیتی) Mutschler et al., 1981; White et al., 1981; Kooiman et al., 1986; Guan et al., 1988 نسبت داده شده است که نتیجه فرایندهای هضم و آلدگی ماگمای مادر آنها با مواد پوسته‌ای و تفریق بلوری بیشتر آن در بخش‌های میانی و بالای پوسته است که با مقادیر رادیوژنیک $^{87}\text{Sr}/^{86}\text{Sr}$ (٠/٥٧٠٤٩ - ٠/٧٠٦٤٢) می‌تواند بر روی میزان و تغییرات ساختار بلوری مولیبدنیت (پلی‌مورف‌های 2H و 3R) می‌تواند بر روی میزان و تغییرات غلظت رنیوم در مولیبدنیت مؤثر باشد.

یکی از نتایج مطالعه حاضر ثبت میزان بالاتر غلظت رنیوم در مولیبدنیت کانسارهای مس (میدوک) و مس- مولیبدن پورفیری (سرچشمہ) نسبت به کانسارهای مولیبدن- مس پورفیری (نوچون) بود که با وجود یک ارتباط وارون بین غلظت رنیوم و عیار میانگین مولیبدن و ارتباط مستقیم بین عیار میانگین مس و غلظت رنیوم تأیید شد (نمودارهای ۱ و ۲). همچنین تحقیقات نشان داده است که بین غلظت رنیوم در مولیبدنیت‌ها و میزان مولیبدنیت در کانسارها یک رابطه وارون وجود دارد (Newberry, 1979; Gilles & Schilling, 1972) بنابراین مولیبدنیت‌های کانسارهای مولیبدن- مس- مولیبدن پورفیری عموماً نسبت به مولیبدنیت‌های کانسارهای مولیبدن پورفیری میزان رنیوم بیشتری دارند که این رابطه را به پدیده تعادل جرم نسبت داده‌اند (Stein et al., 2001). پژوهشگران یادشده بر این باورند که اگر تقریباً تمام محتوای رنیوم کانسارهای مس- مولیبدن پورفیری به سلیمه مولیبدنیت‌های موجود در این کانسارها تمکز یابد، حضور محدودتر مولیبدنیت در هر کانسار مس- مولیبدن پورفیری منجر به تمکزهای بالایی از رنیوم در این مولیبدنیت‌ها خواهد شد؛ در حالی که حضور فراوان‌تر مولیبدنیت در کانسارهای مولیبدن- مس و مولیبدن پورفیری باعث می‌شود که محتوای رنیوم چنین کانسارهایی در تمام مولیبدنیت‌ها توزیع شود که این توزیع گسترده باعث کاهش غلظت آن در مولیبدنیت‌های کانسارهای یادشده می‌شود. ترکیب و ماهیت منبع تأمین کننده فلز (ماگمای مولد) در کانسارهای پورفیری به عنوان یکی دیگر از عوامل احتمالی کنترل کننده محتوای رنیوم کانسارها و غلظت آن در مولیبدنیت‌ها معرفی شده است (Mao et al., 1999) این مسئله با کاهش یافتن میزان رنیوم در مولیبدنیت‌های کانسارهای پورفیری همراه شده با توده‌های گرانیتوبیدی جبهای، به طرف توده‌های I-type و سپس توده‌های S-type مطابقت دارد. پژوهش‌ها نشان داده است کانسارهایی که ماگمای مولد آنها از ذوب بخش‌های مافیک زیرپوسته‌ای حاصل شده است، محتوای رنیوم بالاتری نسبت به کانسارهایی که ماگمای مولد آنها فقط از ذوب سنگ‌های پوسته میانی و بالایی شکل گرفته است، دارند (Stein et al., 2001). این ویژگی به همراه ترکیب کوارتزدیوریتی- گرانودیوریتی توده نفوذی مولد کانسارهای مس- مولیبدن پورفیری و همچنین مقادیر کمتر رادیوژنی $^{87}\text{Sr}/^{86}\text{Sr}$ آنها خاص‌چیز کانسارهایی است که نشان می‌دهد در شکل گیری آنها ماگمایی با منشأ جهای نسبت به منابع پوسته‌ای نقش بسیار بیشتری داشته‌اند. الگوی منشأ ارائه شده برای توده‌های مولد کانه‌زایی در کمرنده مس پورفیری کرمان که بیشتر ترکیب گرانودیوریتی و کمتر کوارتزدیوریتی دارند، به همراه مقادیر غیررادیوژنی $^{87}\text{Sr}/^{86}\text{Sr}$ توده‌های نفوذی مولد کانسار سرچشمہ (Shafiei et al., 2009) و کانسار میدوک (٠/٧٠٤٥٥) و همچنین مقادیر کمتر رادیوژنی $^{206}\text{Pb}/^{204}\text{Pb}$ این توده‌ها (Shafiei, 2010) در کانسار سرچشمہ (١٨/٥٤٥) میدوک (١٨/٥٢١)، سرکوه (١٨/٥٧٣) و دره‌زار (١٨/٥٤٥) در اطباق با نتایج مطالعات در دنیا است (Stein et al., 2001). در میان این کانسارها، مولیبدنیت کانسار میدوک بیشترین میزان غلظت رنیوم را نشان داده است که ویژگی‌های این کانسار همچون ترکیب کوارتزدیوریتی و مقادیر کمتر رادیوژنی $^{87}\text{Sr}/^{86}\text{Sr}$ و $^{206}\text{Pb}/^{204}\text{Pb}$ توده نفوذی مولد و محتوای مولیبدنیت بسیار کمتر آن در مقایسه با کانسارهای سرچشمہ، دره‌زار و سرکوه می‌تواند به عنوان شاخص‌های شناسایی کانسارهای مس و مس- مولیبدن پورفیری با محتوای زیاد رنیوم در نظر گرفته

Eliopoulos, 1996; Melfos et al., 2001; Xiong & Wood, 1999, 2001, 2002; Berzina et al., 2005) نشان داده است که ترکیب ماگمای مادر و میزان تفریق بلوری آن، واکنش بین ماگماهای مادر با سنگ‌های پوسته، نوع و محتوای فلزی کانسار، غلظت رنیوم در سیال‌های گرمایی کانسنگ‌ساز و تغییر شرایط فیزیکی و شیمیایی بلور (فوگاسیته اکسیژن، H_p، فعالیت یون کلرید، دما) و تغییر ساختار بلوری مولیبدنیت (پلی‌مورف‌های 2H و 3R) می‌توانند بر روی میزان و تغییرات غلظت رنیوم در مولیبدنیت مؤثر باشند.

یکی از نتایج مطالعه حاضر ثبت میزان بالاتر غلظت رنیوم در مولیبدنیت کانسارهای مس (میدوک) و مس- مولیبدن پورفیری (سرچشمہ) نسبت به کانسارهای مولیبدن- مس پورفیری (نوچون) بود که با وجود یک ارتباط وارون بین غلظت رنیوم و عیار میانگین مولیبدن و ارتباط مستقیم بین عیار میانگین مس و غلظت رنیوم تأیید شد (نمودارهای ۱ و ۲). همچنین تحقیقات نشان داده است که بین غلظت رنیوم در مولیبدنیت‌ها و میزان مولیبدنیت در کانسارها یک رابطه وارون وجود دارد (Newberry, 1979; Gilles & Schilling, 1972) بنابراین مولیبدنیت‌های کانسارهای مولیبدن- مس- مولیبدن پورفیری عموماً نسبت به مولیبدنیت‌های کانسارهای مولیبدن پورفیری میزان رنیوم بیشتری دارند که این رابطه را به پدیده تعادل جرم نسبت داده‌اند (Stein et al., 2001). پژوهشگران یادشده بر این باورند که اگر تقریباً تمام محتوای رنیوم کانسارهای مس- مولیبدن پورفیری به سلیمه مولیبدنیت‌های موجود در این کانسارها تمکز یابد، حضور محدودتر مولیبدنیت در هر کانسار مس- مولیبدن پورفیری منجر به تمکزهای بالایی از رنیوم در این مولیبدنیت‌ها خواهد شد؛ در حالی که حضور فراوان‌تر مولیبدنیت در کانسارهای مولیبدن- مس و مولیبدن پورفیری باعث می‌شود که محتوای رنیوم چنین کانسارهایی در تمام مولیبدنیت‌ها توزیع شود که این توزیع گسترده باعث کاهش غلظت آن در مولیبدنیت‌های کانسارهای یادشده می‌شود. ترکیب و ماهیت منبع تأمین کننده فلز (ماگمای مولد) در کانسارهای پورفیری به عنوان یکی دیگر از عوامل احتمالی کنترل کننده محتوای رنیوم کانسارها و غلظت آن در مولیبدنیت‌ها معرفی شده است (Mao et al., 1999) این مسئله با کاهش یافتن میزان رنیوم در مولیبدنیت‌های کانسارهای پورفیری همراه شده با توده‌های گرانیتوبیدی جبهای، به طرف توده‌های I-type و سپس توده‌های S-type مطابقت دارد. پژوهش‌ها نشان داده است کانسارهایی که ماگمای مولد آنها از ذوب بخش‌های مافیک زیرپوسته‌ای حاصل شده است، محتوای رنیوم بالاتری نسبت به کانسارهایی که ماگمای مولد آنها فقط از ذوب سنگ‌های پوسته میانی و بالایی شکل گرفته است، دارند (Stein et al., 2001). این ویژگی به همراه ترکیب کوارتزدیوریتی- گرانودیوریتی توده نفوذی مولد کانسارهای مس- مولیبدن پورفیری و همچنین مقادیر کمتر رادیوژنی $^{87}\text{Sr}/^{86}\text{Sr}$ آنها خاص‌چیز کانسارهایی است که نشان می‌دهد در شکل گیری آنها ماگمایی با منشأ جهای نسبت به منابع پوسته‌ای نقش بسیار بیشتری داشته‌اند. الگوی منشأ ارائه شده برای توده‌های مولد کانه‌زایی در کمرنده مس پورفیری کرمان که بیشتر ترکیب گرانودیوریتی و کمتر کوارتزدیوریتی دارند، به همراه مقادیر غیررادیوژنی $^{87}\text{Sr}/^{86}\text{Sr}$ توده‌های نفوذی مولد کانسار سرچشمہ (Shafiei et al., 2009) و کانسار میدوک (٠/٧٠٤٧٠٢) و همچنین مقادیر کمتر رادیوژنی $^{206}\text{Pb}/^{204}\text{Pb}$ این توده‌ها (Shafiei, 2010) در کانسار سرچشمہ (١٨/٥٢٥)، میدوک (١٨/٥٢١)، سرکوه (١٨/٥٧٣) و دره‌زار (١٨/٥٤٥) در اطباق با نتایج مطالعات در دنیا است (Stein et al., 2001). در میان این کانسارها، مولیبدنیت کانسار میدوک بیشترین میزان غلظت رنیوم را نشان داده است که ویژگی‌های این کانسار همچون ترکیب کوارتزدیوریتی و مقادیر کمتر رادیوژنی $^{87}\text{Sr}/^{86}\text{Sr}$ و $^{206}\text{Pb}/^{204}\text{Pb}$ توده نفوذی مولد و محتوای مولیبدنیت بسیار کمتر آن در مقایسه با کانسارهای سرچشمہ، دره‌زار و سرکوه می‌تواند به عنوان شاخص‌های شناسایی کانسارهای مس و مس- مولیبدن پورفیری با محتوای زیاد رنیوم در نظر گرفته

مولیبدنیت نوع 3R نسبت به نوع 2H و همچنین حمل و نهشت دوباره رنیوم در مولیبدنیت‌های تغییر ساختار یافته (2H به 3R) در آنها باعث افزایش محتواهای رنیوم این کانسارهای نسبت به کانسارهای مس پورفیری با توسعه ضعیف دگرسانی فیلیک شده است.

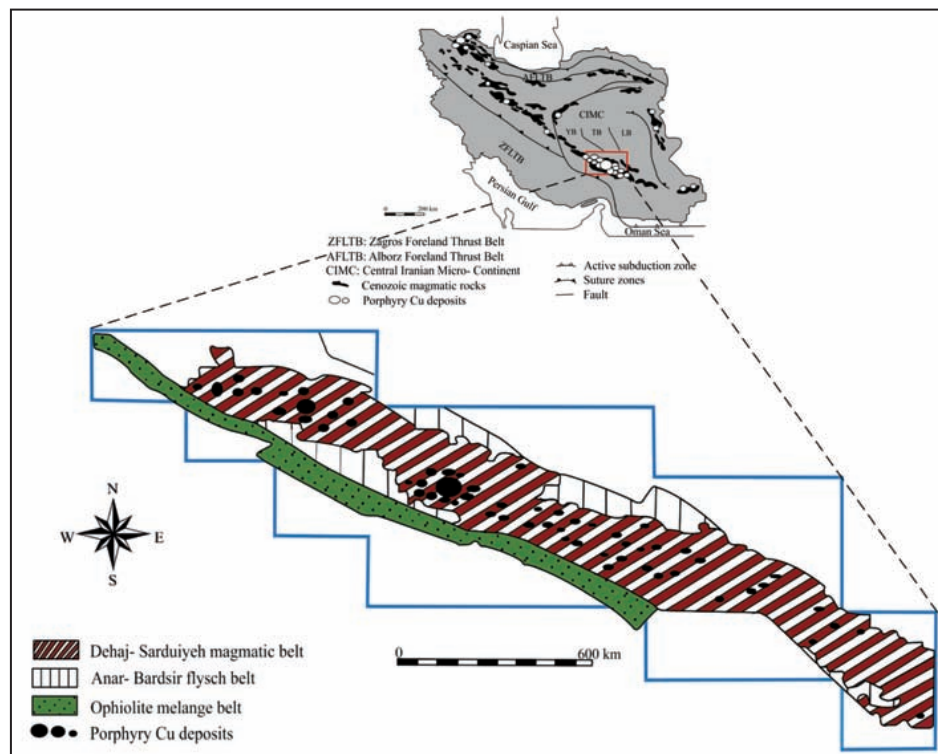
۶- نتیجه‌گیری

- پراکنده‌گر رنیوم در مولیبدنیت کانسارهای مس و مولیبدن پورفیری کرمان تقریباً شبیه به کانسارهای مشابه در دیگر مناطق دنیا و از چند ده تا چند هزار ppm متغیر است. ثبت مقادیر چند هزار ppm رنیوم در مولیبدنیت‌های کانسارهای مس - مولیبدن پورفیری کرمان گویای ارزش بالای این فلز راهبردی (استراتژیک) در کنسانتره تولیدی مولیبدنیت مجتمع مس سرچشممه است که بازیابی مؤثر آن می‌تواند نقش مهمی در ارزش افزوده تولیدات شرکت ملی صنایع مس ایران داشته باشد.
- میزان رنیوم کانسارهای مس پورفیری (مانند میدوک) به سمت کانسارهای مس - مولیبدن - طلا (مانند سرکوه)، مس - مولیبدن (مانند سرچشممه و دره زار) و مولیبدن - مس پورفیری (مانند نوچون) روند کاهشی نشان می‌دهد که این روند در کنترل میزان فراوانی رخداد مولیبدنیت و عیار میانگین مولیبدن و مس در این کانسارها است.
- کانسارهای مس و مولیبدن پورفیری که توده نفوذی مولد آنها از مامگاهای کمتر تفرقی یافته، کلسیمی تر و با دخالت بیشتر سازنده‌های جبهه‌ای نسبت به مواد پوسته‌ای حاصل شده باشند محتواهای رنیوم بالاتری نسبت به کانسارهای مولیبدن و مولیبدن - مس پورفیری دارند و توده نفوذی مولد آنها تفرقی یافته‌تر، قلیایی تر و حاصل دخالت زیاد سازنده‌های پوسته‌ای است.
- مولیبدنیت‌های نوع 3R که در مرحله انتقالی کانی‌سازی در رگچه‌های نوع B و مولیبدنیت‌های نوع 2H که در مرحله پایانی کانی‌سازی و با رگچه‌های نوع D نهشته شده‌اند رنیوم بیشتری نسبت به مولیبدنیت‌های نوع 2H که در مرحله اولیه (رگچه‌های A) شکل گرفته‌اند دارند. این روند رو به افزایش غلظت رنیوم در طی مرحله تکاملی سامانه‌های کانی‌سازی پورفیری می‌تواند با ارتباط وارون بین غلظت رنیوم و دمای سیال‌های گرمایی کانه‌ساز و همچنین با اسیدی تر شدن سیال‌های مسئول کانی‌سازی‌های مرافق میانی و نهایی کانسارها توضیح داده شود.
- تبدیل پلی‌مورف‌های نهشته شده از مولیبدنیت به یکدیگر در طی مرحله تکامل کانی‌سازی پورفیری و از دست رفتن رنیوم از ساختار مولیبدنیت اولیه و یا اضافه شدن دوباره آن به ساختار مولیبدنیت حاصل می‌تواند توضیحی برای حضور مولیبدنیت‌های 2H با غلظت بالای رنیوم و یا رخداد مولیبدنیت‌های 3R با غلظت پایین رنیوم در کانسارهای پورفیری باشد.

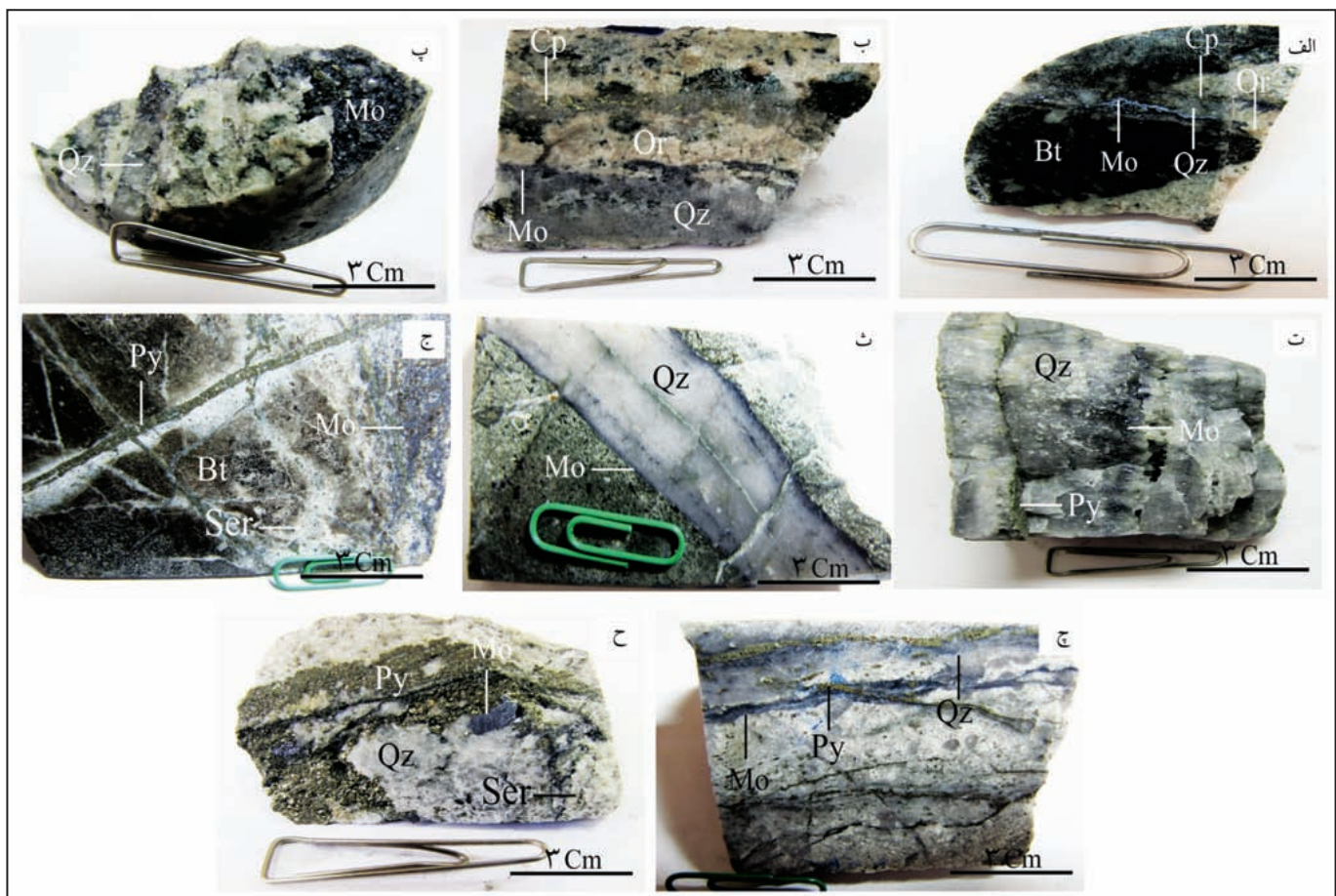
سپاسگزاری

از شرکت ملی صنایع مس ایران بهویژه امور تحقیق و توسعه و امور اکتشافات و مهندسی توسعه که با تصویب، همکاری و حمایت مالی این پژوهه باعث به ثمر نشستن آن شدند تا بتوان از نتایج این پژوهش در صنعت مس کشور بهره‌مند شد، صمیمانه سپاسگزاری می‌شود. از شرکت مهندسین مشاور زمین-آب-پی بهدلیل ارسال نمونه‌ها به آمریکا و تجزیه پراش پرتو ایکس (XRD) در کالج جانیاتا، ایالت پنسیلوانیا و سنجش مقادیر مطلق رنیوم در دانشگاه آریزونا قدردانی می‌شود.

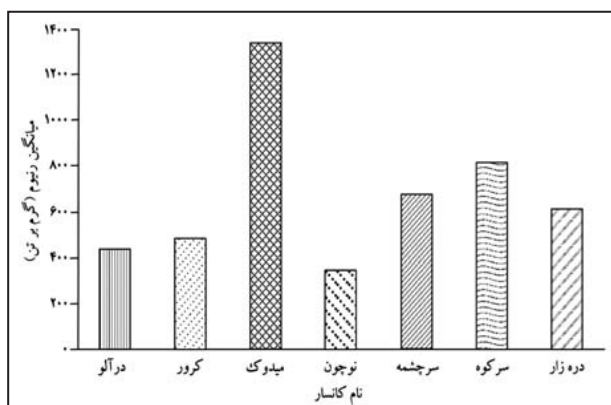
رنیوم انواع مولیبدنیت‌های نهشته شده در رگچه‌های مرافق مختلف کانی‌سازی در کانسارهای پورفیری را می‌توان بر پایه تغییرات درجه حرارت نهشت و نوع پلی‌مورف مولیبدنیت تفسیر کرد. مطالعه پراکنده‌گر رنیوم در انواع رگچه‌های کانسارهای پورفیری (Newberry, 1979b) نشان داده است که مولیبدنیت موجود در رگچه‌های نوع A (پاراژنتر-کوارتر-بیوتیت-اندیریت-ارتوكلاز-مولیبدنیت-کالکوپیریت-پیریت) که در دگرسانی پتاسیک و با ساختار 2H در دمای بالا ۴۰۰ تا ۵۰۰ درجه سانتی‌گراد (نهشته می‌شوند) دارای عیار بالای مولیبدن و محتواهای رنیوم پایین هستند. رگچه‌های نوع B (کوارتر-مولیبدنیت ± پیریت بدون کانی‌های دگرسانی) که مولیبدنیت‌های آنها عمده‌ای از نوع 3R است و در مرحله انتقالی کانی‌سازی در دماهای پایین تر (کمتر از ۴۰۰ درجه سانتی‌گراد) نهشته می‌شوند بالاترین میزان رنیوم را دارند. همچنین مولیبدنیت موجود در رگچه‌های نوع D (کوارتر-سرسیت-کلریت-پیریت-کالکوپیریت ± مولیبدنیت) که در دگرسانی فیلیک نهشته شده‌اند و با نسبت بالایی از مولیبدنیت نوع 2H به 3R مشخص می‌شوند عموماً دارای غلظت بالایی از رنیوم نسبت به مولیبدنیت‌های موجود در رگچه‌های نوع A (دگرسانی پتاسیک) هستند. وجود غلظت‌های پایین رنیوم در پلی‌مورف 3R (برای مثال نمونه-6 NCP) و یا غلظت بالای رنیوم در پلی‌مورف 2H (نمونه- MP) (1) که در تعداد کمی از نمونه‌ها قبل مشاهده است (جدول ۳) می‌تواند با الگوی تبدیل پلی‌مورف‌های یکدیگر با تغییر شرایط دمایی کانی‌سازی در طی تکامل سامانه گرمایی کانی‌سازی توجیه شود (Newberry, 1979 b). مطابق این الگو، تبدیل و تبلور دوباره مولیبدنیت 3R به 2H تحت شرایط درجه حرارت بالا می‌تواند در اثر عملکرد سیال‌های گرمایی تأثیری داغ تر بر مجموعه کانی‌ای شکل گرفته در دمای کمتر رخ داده باشد. تحت چنین شرایطی رنیوم می‌تواند با سیال‌های تأثیری دوباره حمل و نهشته شود که این اثر تجمعی کانی‌سازی باعث افزایش غلظت رنیوم در مولیبدنیت‌های تغییر ساختار یافته می‌شود، هرچند که این تبدیل پلی‌مورفی در درجه حرارت‌های بالا می‌تواند با از دست رفتن رنیوم از ساختار مولیبدنیت اولیه همراه باشد که در نتیجه باعث کاهش غلظت رنیوم در این مولیبدنیت‌ها می‌شود. پژوهش‌ها نشان داده است که مولیبدنیت‌های 3R با غلظت کم رنیوم و همچنین مولیبدنیت‌های 2H با غلظت بالای رنیوم می‌توانند در نتیجه دگرسان شدن و تبدیل پلی‌مورف‌ها به یکدیگر در طی مرافق تکامل کانی‌سازی بوجود آمده باشد که این تغییر ساختار با از دست رفتن رنیوم از ساختار مولیبدنیت اولیه و یا با اضافه شدن و نهشت دوباره رنیوم در مولیبدنیت جدید همراه خواهد بود و (Ruiz & Mathur, 2000; McCandless et al., 1993) (D) کانسارهای مس پورفیری کرمان با غلظت‌های نزدیک به غلظت رنیوم در مولیبدنیت 3R رگچه‌های نوع B می‌تواند با این الگو توجیه و تفسیر شود. پژوهش‌ها نشان داده است که مجموعه‌های کانی‌ای که از سیال‌های گرمایی اسیدی شکل گرفته‌اند برای تمرکز دهنده رنیوم در مولیبدنیت‌ها مناسب‌تر از سیال‌های قلیایی هستند (Filimonova et al., 1985; Ivanov & Yushko-Zakharova, 1989) با توجه به شدت و توسعه زیاد دگرسانی فیلیک در کانسارهای مس - مولیبدن پورفیری که از چرخش و فعالیت سیال‌های گرمایی اسیدی شکل گرفته‌اند (Williams-Jones and Heinrich, 2005; Heinrich, 2005)



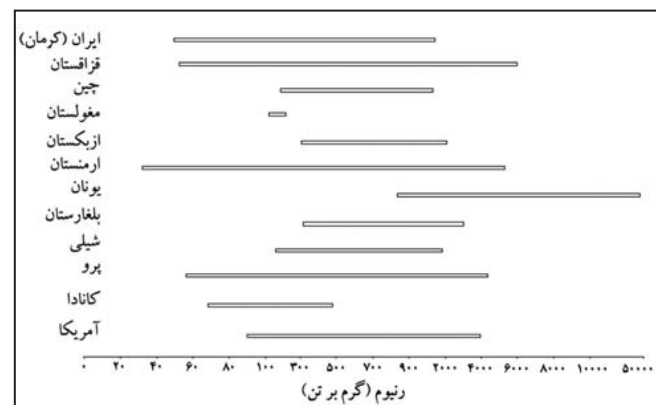
شکل ۱- نقشه ساده شده کمرنده مس پورفیری کرمان (دهج- ساردویه) و موقعیت آن در نقشه ساده زمین‌شناسی ایران (نقل با تغییرات از Demitrijevic, 1973)



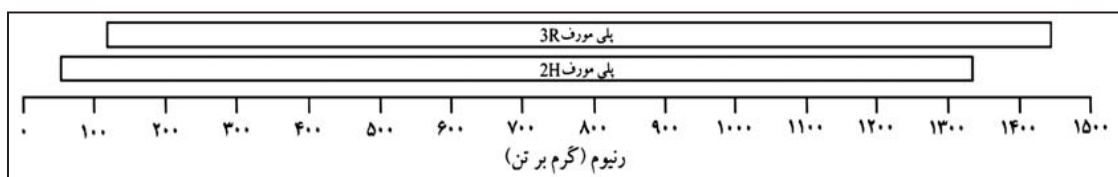
شکل ۲- نمونه‌هایی از انواع رگجه‌های مولیدنیت دار موجود در کانسارهای مس- مولیدن پورفیری کرمان: Mo: مولیدن، Py: پیریت، Cp: کالکپیریت، Qz: کوارتز، Bt: بیوت، Or: ارتوکلاز، Ser: سریسیت



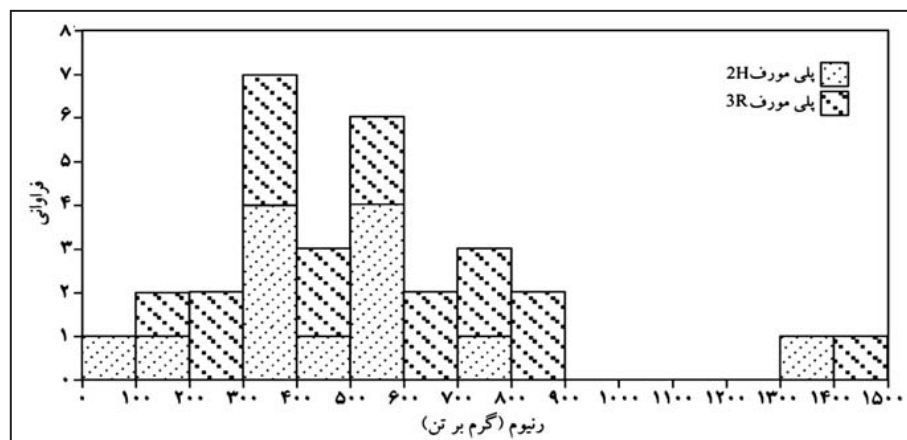
شکل ۴- میانگین غلظت رنیوم در مولیبدنیت کانسارهای پورفیری مس و مولیبدن کرمان



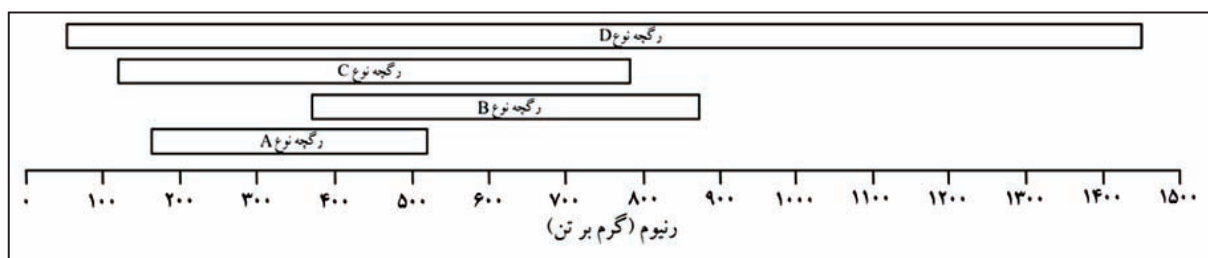
شکل ۳- مقایسه مقادیر و تغییرات غلظت رنیوم در مولیبدنیت کانسارهای مس و مولیبدن پورفیری ایران (مطالعه حاضر) و دیگر مناطق جهان (Berzina et al., 2005)



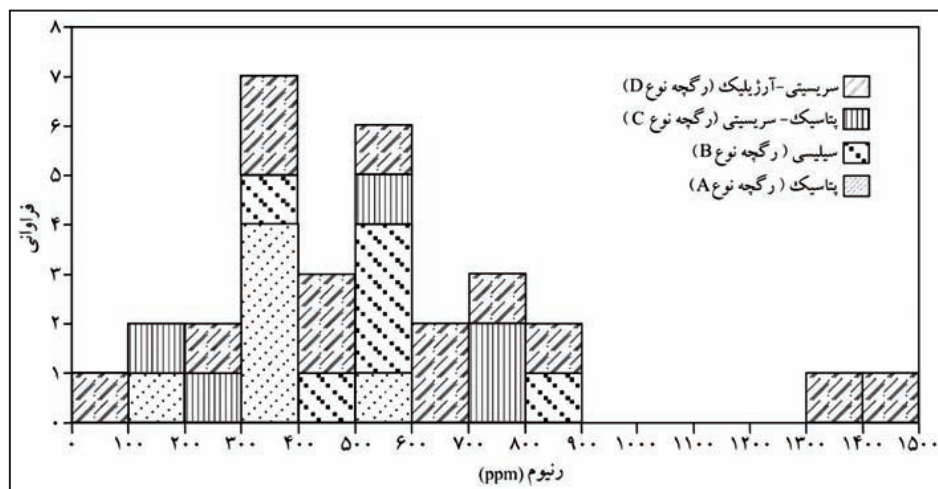
شکل ۵- میانگین غلظت رنیوم در پلی مورف های 2H و 3R مولیبدنیت



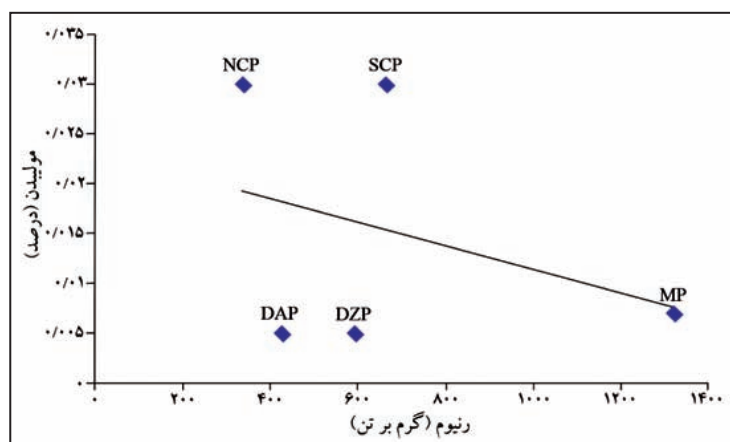
شکل ۶- فراوانی غلظت رنیوم در پلی مورف های 2H و 3R مولیبدنیت کانسارهای پورفیری مس و مولیبدن کرمان



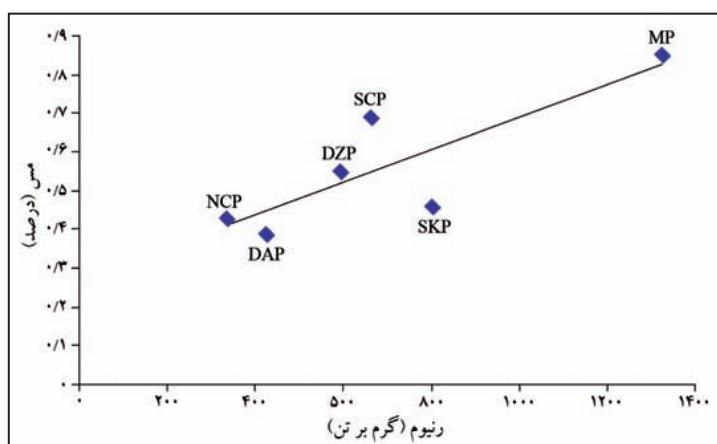
شکل ۷- تغییرات غلظت رنیوم در مولیبدنیت های رگجه های نوع A, B, C و D کانسارهای پورفیری مس و مولیبدن کرمان



شکل ۸- فراوانی غلظت Ni در مولیدنیت‌های رگجه‌های نوع A، B، C و D کانسارهای پورفیری مس و مولیدن کرمان



شکل ۹- رابطه بین عیار میانگین مولیدن و میانگین غلظت Ni در تعدادی از کانسارهای پورفیری کرمان؛ SCP: کانسار سرچشم، MP: کانسار میدوک، DZP: کانسار دره زار، DAP: کانسار در آلو و NCP: کانسار نوچون



شکل ۱۰- رابطه بین عیار میانگین مس و میانگین غلظت Ni در تعدادی از کانسارهای پورفیری کرمان؛ SCP: کانسار سرچشم، MP: کانسار میدوک، DZP: کانسار دره زار، DAP: کانسار در آلو، NCP: کانسار نوچون و SKP: کانسار سرکوه

جدول ۱- ویژگی های ذخایر و کامیسارهای مسн - موپیلدن و موپیلن - مس پورفیری در کمربند مس کرمان

١٤- صالحjan و قادری (١٣٨٩)؛ Nedimovic (1973)

جدول ۲- ویژگی های نمونه های انتخاب شده برای انجام جدايش مولیدنیت از آنها و نتایج تجزیه XRD آنها برای تعیین نوع پلی مورف مولیدنیت

نام کانسار	شماره نمونه	نوع رگچه و دگرسانی	پلی مورف مولیدنیت
میدوک	MP-1	رگچه کوارتز- پیریت- مولیدنیت؛ سریستی شدن- آرژیلیک (رگچه نوع D)	2H
سرچشمہ	SCP-1	رگچه کوارتز- مولیدنیت- کالکوپیریت- پیریت؛ سریستی شدن- سیلیسی شدن (رگچه نوع C)	3R
سرچشمہ	SCP-4	رگچه کوارتز- مولیدنیت؛ بیوتیتی شدن (پتاسیک) (رگچه نوع A)	2H
سرچشمہ	SCP-7	رگچه مولیدنیت؛ سیلیسیک- سریستیک (رگچه نوع B)	2H
سرچشمہ	SCP-8	رگچه کوارتز- پیریت- مولیدنیت؛ سریستی شدن- سیلیسی شدن (رگچه نوع C)	3R
سرچشمہ	SCP-10	رگچه کوارتز- پیریت- مولیدنیت؛ بیوتیتی شدن (پتاسیک) (رگچه نوع A)	2H
سرچشمہ	SCP-11	رگچه مولیدنیت ± کوارتز؛ آرژیلیک ± سریستی شدن (رگچه نوع D)	3R
دره زار	DZP-4	رگچه کوارتز- پیریت- مولیدنیت؛ بیوتیتی شدن (پتاسیک) (رگچه نوع A)	2H
دره زار	DZP-6	رگچه کوارتز- پیریت- مولیدنیت؛ سریستی شدن ± سیلیسی شدن (رگچه نوع D)	3R
درآلو	DAP-4	رگچه کوارتز- مولیدنیت؛ سریستی شدن- کلریت ± آرژیلیک (رگچه نوع D)	2H
درآلو	DAP-6	رگچه کوارتز- مولیدنیت؛ سیلیسی- سریستی (رگچه نوع B)	3R
درآلو	DAP-9	رگچه مولیدنیت؛ سریستیک ± آرژیلیک (رگچه نوع D)	2H
درآلو	DAP-10	رگچه کوارتز- مولیدنیت ± پیریت؛ (پتاسیک) (رگچه نوع A)	2H
درآلو	DAP-11	رگچه مولیدنیت؛ سریستی شدن ± آرژیلیک (رگچه نوع D)	2H
درآلو	DAP-12	رگچه کوارتز- مولیدنیت- کالکوپیریت ± پیریت؛ سریستی شدن ± آرژیلیک (رگچه نوع D)	3R
درآلو	DAP-14	رگچه کوارتز- پیریت- مولیدنیت؛ سریستی شدن ± آرژیلیک (رگچه نوع D)	3R
سرکوه	SKP-4	رگچه کوارتز- مولیدنیت؛ سریستی شدن ± آرژیلیک (رگچه نوع D)	2H
سرکوه	SKP-5	رگچه کوارتز- مولیدنیت؛ سیلیسی شدن (رگچه نوع B)	3R
کرور	KVP-4	رگچه کوارتز- مولیدنیت؛ سیلیسی شدن (رگچه نوع B)	2H
کرور	KVP-7	رگچه کوارتز- مولیدنیت- ژپس؛ سریستی شدن ± آرژیلیک (رگچه نوع D)	3R
کرور	KVP-9	رگچه کوارتز- پیریت- مولیدنیت؛ سریستی شدن ± آرژیلیک (رگچه نوع D)	3R
کرور	KVP-10	رگچه کوارتز- مولیدنیت؛ سریستی شدن ± آرژیلیک (رگچه نوع D)	3R
نوجون	KVP-14	رگچه کوارتز- مولیدنیت؛ پتاسیک- فیلیک (رگچه نوع B)	3R
نوجون	NCP-2	رگچه کوارتز- مولیدنیت- کالکوپیریت- پیریت؛ سریستی شدن- پتاسیک (رگچه نوع C)	3R
نوجون	NCP-3	رگچه کوارتز- مولیدنیت؛ سریستی شدن ± آرژیلیک (رگچه نوع D)	3R
نوجون	NCP-6	رگچه کوارتز- مولیدنیت- کالکوپیریت (رگچه نوع C)	3R
نوجون	NCP-7	رگچه کوارتز- مولیدنیت؛ بیوتیتی شدن (پتاسیک) (رگچه نوع A)	2H
نوجون	NCP-8	رگچه کوارتز- مولیدنیت؛ فیلیک فراگیر (رگچه نوع B)	3R
نوجون	NCP-9	رگچه کوارتز- مولیدنیت ± پیریت؛ بیوتیتی شدن (پتاسیک) (رگچه نوع A)	2H
نوجون	NCP-10	رگچه مولیدنیت ± کوارتز؛ سریستی شدن- پتاسیک (رگچه نوع C)	3R

جدول ۳- نتایج تجزیه شیمیایی رنیوم در نمونه‌های مولیبدنیت کانسارهای

پورفیری مس و مولیبدن کرمان

رنیوم (گرم بر قن)	شماره نمونه
۱۳۲۵۳۲	MP-1
۷۸۳/۶۴	SCP-1
۳۱۹/۴۵	SCP-4
۵۶۶/۸۷	SCP-7
۷۰۵/۲۳	SCP-8
۱۵۸/۸۲	SCP-10
۱۴۴۹/۴۶	SCP-11
۳۰۶/۱۹	DZP-4
۸۸۳/۵۷	DZP-6
۴۶۲/۷۱	DAP-4
۵۰۸/۱۷	DAP-6
۴۹/۰۵	DAP-9
۳۶۹/۰۷	DAP-10
۵۷۷/۳۵	DAP-11
۶۶۱/۱۲	DAP-12
۳۵۷/۱۶	DAP-14
۷۲۲/۲۱	SKP-4
۸۷۲/۹۳	SKP-5
۵۱۳/۸۱	KVP-4
۳۰۷/۷	KVP-7
۴۹۸/۳۹	KVP-9
۶۶۲/۰۹	KVP-10
۳۷۷/۹۹	KVP-14
۵۰۸/۹۷	NCP-2
۲۴۵/۱۶	NCP-3
۱۰۹/۶۷	NCP-6
۳۲۶/۱۵	NCP-7
۴۱۹/۰۸	NCP-8
۵۲۱/۲۹	NCP-9
۲۲۴/۳۸	NCP-10

کتابنگاری

سلطانی تزاد، س.، ۱۳۸۹- مطالعه توزیع و رفتار ژئوشیمیایی مولیبدن در کانسار پورفیری تحت اکتشاف نوچون (جنوب معدن مس سرچشمه رفسنجان) پایان نامه کارشناسی ارشد، داشگاه گلستان، ۱۱۲ ص.

سلطانی تزاد، س.، شفیعی، ب. و اصفهانی پور، ر.، ۱۳۸۹- رفتار زمین شیمیایی مولیبدن، مس و طلا در کانسار پورفیری نوچون، رفسنجان، نخستین همایش انجمن زمین شناسی اقتصادی ایران.

سلطانی تزاد، س.، شفیعی، ب. و تقی زاده، ح.، ۱۳۸۹- دگرسانی و کانی سازی در کانسار مولیبدن- مس پورفیری نوچون، رفسنجان، هیجد همین همایش بلور شناسی و کانی شناسی ایران. شفیعی، ب.، شهاب پور، ج. و سعدلو، م.، ۱۳۸۰- ویژگی های ژئوشیمیایی، سرشت و خاستگاه طلا و نقره ژرف زاد در کانسار مس پورفیری سرچشمه کرمان.

فصلنامه علمی- پژوهشی علوم زمین، سال هشتم، شماره ۳۴-۳۳، صفحات ۳۴-۴۹. صالحیان، م. و قادری، م..، ۱۳۸۹- تکامل هیدروترمالی کانسار مس پورفیری در آلو، جنوب کرمان، نخستین همایش انجمن زمین شناسی اقتصادی ایران. قاسمی، ق.، علیرضایی، س. و ایرانمنش، م. ر.، ۱۳۸۹- ویژگی های زمین شناسی و دگرسانی در محدوده اکتشافی کرور، جبال بارز استان کرمان، چهاردهمین همایش انجمن زمین شناسی ایران و بیست و هشتین گردهمایی علوم زمین.

References

- Agard, P., Omrani, J., Jolivet, L. & Mouthereau, F., 2005- Convergence history across Zagros (Iran): constraints from collisional and earlier deformation. International Journal of Earth Sciences 94: 401-419.
- Ayres, D., 1974- Distribution and occurrence of some naturally- occurring polytypes of molybdenite in Australia and Papua New Guinea. Journal of Geological Society of Australia 21:273-278.
- Berberian, F., Muir, I. D., Pankhurst, R. J. & Berberian, M., 1982- Late Cretaceous and early Miocene Andean type plutonic activity in northern Makran and central Iran. Geological Society of London 139:604-614.

- Berberian, M. & King, G. C. P., 1981- Toward a paleogeography and tectonic evolution of Iran. Canadian journal of Earth Sciences 18: 210-265.
- Bernard, A., Symonds, R. B. & Rose, W. I. JR., 1990- Volatile transport and deposition of Mo, W, and Re in high temperature magmatic fluids. Applied Geochemistry 5:317-326.
- Berzina, A. N., Sotnikov, V. I., Economou-Eliopoulos, M. & Eliopoulos, D. G., 2005- Distribution of rhenium in molybdenite from porphyry Cu-Mo and Mo-Cu deposits of Russia (Siberia) and Mongolia .Ore Geology Reviews 26: 91-113.
- Candela, P. A. & Holland, H. D., 1986- A mass transfer model for copper and molybdenum in magmatic hydrothermal systems: The origin of porphyry-type deposits. Economic Geology 81:1-19.
- Candela, P. A. & Holland, H. D., 1984- The partition of Copper and Molybdenum between silicate melts and aqueous fluids. Geochimica et Cosmochimica Acta 48:373-380.
- Demirijevic, M. D., 1973- Geology of Kerman region. Geological Survey of Iran Report 52. 334 pp.
- Derakhshani, R. & Abdolzadeh, M., 2009- Mass change calculations during hydrothermal alteration/mineralization in the porphyry copper deposit of Darrehzar, Iran. Research Journal of Environmental Sciences 3(1): 41-51.
- Dercourt, J., Zonenshain, L., Ricou, L. E., Kasmin, G., Lepichon, X., Knipper, A. L., Grandjacquet, C., Sbortshikov, I. M., Geyssant, J., Lepvrier, C., Pechersky, D. H., Boulin, J. P., Sibuet, J. C., Savostin, L. A., Sorokhtin, O., Westphal, M., Bazhenove, M. L., Lauer, J. P., Biju-Duval, B., 1986- Geological evolution of the Tethys belt from the Atlantic to Pamirs since the Lias. Tectonophysics 123: 241-315.
- Economou-Eliopoulos, M. & Eliopoulos, D. G., 1996- Distribution of rhenium (Re) in molybdenites and Mo-bearing minerals of Greece and its economic significance. Final Report, University of Athens, 30 pp (in Greek with English abstract).
- Etminan, H., 1977- Le porphyre cuprifère de Sar Cheshmeh (Iran), rôle des phases fluides dans les mécanismes de l'altération et de la minéralisation. Sci. Terr. Mem., 34, 78p.
- Filimonova, L. Y., Zhukov, N. M. & Malyavka, A. G., 1985- Genetic aspects of polytypism and rhenium contents of molybdenite in porphyry copper deposits. Geochemistry International 22:74-79.
- Fleischer, M., 1960- The geochemistry of rhenium – addendum. Economic Geology 55:607-609.
- Frondel, J. W. & Wickman, F. E., 1970- Molybdenite polytypes in theory and occurrence. II. Some naturally- occurring polytypes of molybdenite. American mineralogist 55: 1857-1875.
- Giles, D. L. & Schilling, J. H., 1972- Variation in rhenium content of molybdenite. In 24:th International Geological Congress, Montreal Proceedings 10:145-152.
- Guan, X., Shou, Y., Xiao, J., Lian, S. & Li, J., 1988- A new type of tin deposit- the Yinyan porphyry tin deposit in China, in Hutchison C.S., ed., Geology of Tin Deposits in Asia and the Pacific. Springer Verlag, Berlin, New York, 487- 494.
- Hassanzadeh, J., 1993- Metallogenic and tectono-magmatic events in the SE sector of the Cenozoic active continental margin of Iran (Shahr-e Babak area, Kerman province). Unpublished Ph-D. Thesis, University of California, Los Angeles, 204 p.
- Hezarkhani, A., 2006- Hydrothermal evolution of the Sar-Cheshmeh porphyry Cu-Mo deposit, Iran: Evidence from fluid inclusions. Journal of Asian Sciences 28: 409-422.
- Heinrich, C. A., 2005- The physical and chemical evolution of low-salinity magmatic fluids at the porphyry to epithermal transition: a thermodynamic study. Mineralium Deposita 39: 864-889.
- Ishihara, S., 1988- Rhenium contents of molybdenites in granitoid-series rocks in Japan .Economic Geology 83:1047-1051.
- Ivanov, V. V. & Yushko-Zakharova, O. E., 1989- Rhenium. In: Ivanov V.V., et al., (Eds.), Siderophile and chalcophile rare metals geological directory. Nedra, Moscow, pp. 425-459 (in Russian).
- Kesler, S. E., 2000- Mineral resources and environmental and economic influences.
- Kooiman, G. J. A., McLeod, M. J. & Sinclair, W. D., 1986- Porphyry tungsten- molybdenum ore bodies, polymetallic veins and replacement bodies and tin- bearing greisen zones in the Fire Tower Zone, Mount Pleasant, New Brunswick. Economic Geology, 81: 1356-1373.
- Mao, J., Zhang, Z., Zhang, Z. & Du, A., 1999- Re-Os isotopic dating of molybdenites in the Xiaoliugou W-(Mo) deposit in the northern Qilian Mountains and its geological significance. Geochimica et Cosmochimica Acta 63: 1815-1818.
- McCandless, T. E., Ruiz, J. & Campbell, A. R., 1993- Rhenium behavior in molybdenite in hypogene and near-surface environments: implications for Re-Os geochronology .Geochimica et Cosmochimica Acta 57:889-905.
- McClay, K. R., Whitehouse, P. S., Dooley, T. & Richards, M., 2004- 3D evolution of fold and thrust belts formed by oblique convergence. Marine Geology 21: 857-877.
- Melfos, V., Voudouris, P., Arikas, K. & Vavelidis, M., 2001- Rhenium-rich molybdenites in Thracian porphyry Cu+Mo occurrences, NE Greece. Bulletin of the Geological Society of Greece 34:1015-1022 (in Greek with English abstract).
- Mohajjal, M., Fergusson, C. L. & Sahandi, M. R., 2003- Cretaceous-Tertiary convergence and continental collision, Sanandaj-sirjan zone, western Iran. Journal of Asian Earth Sciences 21: 397-412.

- Mutschler, F. E., Wright, E. G., Ludington, S. & Abbott, J. T., 1981- Granite molybdenite system. *Economic Geology* 76: 874- 897.
- Nedimovic, R., 1973- Exploration for ore deposits in Kerman Region, Geological Survey of Iran, Rep 53: 1-247.
- Newberry, R. J. J., 1979a- Polytypism in molybdenite: A non-equilibrium impurity-induced phenomenon. *American mineralogist* 64:758-767.
- Newberry, R. J. J., 1979b-Polytypism in molybdenite: Relationships between polytypism, ore deposition-alteration stages and rhenium contents. *American mineralogist* 64: 768-775.
- Popov, V. S., 1977- Geology and genesis of copper and molybdenum porphyry deposits. Nauka, Moscow. 203 pp (in Russian).
- Richards, J. P., 2003- Tectono-magmatic precursors for porphyry Cu-(Mo-Au) deposit formation. *Economic Geology* 98: 1515-1533.
- Ricou, L. E., 1994- Tethys reconstructed: plates continental fragments and their boundaries since 260 Ma from Central America to south-eastern Asia. *Geodinamica Acta* 7: 169-218.
- Ruiz, J. & Mathure, R., 2000- Metallogenesis in continental margins: Re-Os evidence from porphyry copper deposits in Chile. *Reviews in Economic Geology* 12: 59-72.
- Shafiei, B. & Shahabpour, J., 2008- Gold distribution in porphyry copper deposits of Kerman region, Southeastern Iran. *Journal of Sciences* 19(3): 247-260.
- Shafiei, B., 2010- Lead isotope signatures of the igneous rocks and porphyry copper deposits from the Kerman Cenozoic magmatic arc (SE Iran), and their magmatic-metallogenetic implications. *Ore Geology Reviews* 38: 27-36.
- Shafiei, B., Haschke, M. & Shahabpour, J., 2009- Recycling of orogenic arc crust triggers porphyry Cu mineralization in Kerman Cenozoic arc rocks, southeastern Iran. *Mineralium Deposita* 44: 265-283.
- Shahabpour, J. & Kramers, J. D., 1987- Lead isotope data from the Sar Cheshmeh porphyry copper deposit, Kerman, Iran. *Mineralium Deposita* 22: 278-281.
- Stein, H. J., Markey, R. J. & Morgan, J. W., 1997- Highly precise and accurate Re-Os ages for molybdenite from the east Qinling molybdenum belt, Shaanxi province, China. *Economic Geology* 92: 827-835.
- Stein, H. J., Markey, R. J., Morgan, J. W., Hannah, J. L. & Schersten, A., 2001- The remarkable Re-Os chronometer in molybdenite :how and why it works .*Terra Nova* 13:479-486.
- Stein, H. J., Morgan, J. W. & Schersten, A., 2000- Re- Os dating of low- level highly- radiogenic (LLHR) sulfides: the Harnas gold deposit, southwest Sweden records continental scale tectonic events. *Economic Geology* 95: 1657-1671.
- Suzuki, K., Shimizu, H. & Masuda, A., 1996- Re-Os dating of molybdenites from ore deposits in Japan: implication for the closure temperature of the Re-Os system for molybdenite and the cooling history of molybdenum ore deposits. *Geochimica et Cosmochimica Acta* 60: 3151-3159.
- Taghipour, N., Aftabi, A. & Mathur, R., 2008- Geology and Re-Os geochronology of mineralization of the Miduk porphyry copper deposit, Iran. *Resource Geology* 58(2): 143-160.
- Tarkian, M., Housley, R. M., Volborth, A., Greis, O. & Moh, G. H., 1991- Unnamed Re-Mo-Cu sulfide from the Stillwater Complex, and crystal chemistry of its synthetic equivalent spinel type $(\text{Cu},\text{Fe})(\text{Re},\text{Mo})_4\text{S}_8$. *European Journal of Mineralogy* 3: 977-982.
- Terada, K., Osaki, S., Ishihara, S. & Kiba, T., 1971- Distribution of rhenium in molybdenites from Japan. *Geochemical Journal* 4: 123-141.
- Todorov, T. & Staikov, M., 1985- Rhenium content in molybdenite from ore mineralizations in Bulgaria. *Geological Balcanica* 15(6): 45-58.
- Watanabe, M. & Soeda, A., 1981- Distribution of poly-type contents of molybdenites from Japan and possible controlling factor in polytypism. *Neues Jahrb. Mineral* 141:258-279.
- Waterman, G. C. & Hamilton, R. L., 1975- The Sar Cheshmeh porphyry copper deposit. *Economic Geology* 70: 568-576.
- White, W. H., Bookstrom, A. A., Kamilli, R. J., Ganster, M. W., Smith, R. P., Ranta, D. E. & Steininger, R. C., 1981- Character and origin of Climax- Type molybdenum deposits. *Economic Geology* 75th Anniversary 270-316.
- Williams-Jones, A. E. & Heinrich, C. A., 2005- Vapor transport of metals and the formation of magmatic-hydrothermal ore deposits. *Economic Geology* 100: 1287-1310.
- Xiong, Y. & Wood, S., 1999- Experimental determination of the solubility of ReO_2 and dominant oxidation stage in hydrothermal solutions. *Chemical Geology* 158: 245-256.
- Xiong, Y. & Wood, S., 2001- Hydrothermal transport and deposition of rhenium under subcritical conditions (up to 200 °C) in light of experimental studies. *Economic Geology* 96: 1429-1444.
- Xiong, Y. & Wood, S., 2002- Experimental determination of the hydrothermal solubility of ReS_2 and the $\text{Re}-\text{ReO}_2$ buffer assemblage and transport of rhenium under supercritical conditions. *Geochemical Transactions* 3: 1-10.